

Look-Up Table：原理、实现和应用

安全多方计算协议可以分别通过秘密分享（GMW系列）和混乱电路（GC系列）构造，两种方案在通信轮数和通信量方面各有优劣。以布尔电路为例：

- GMW：该系列方案通信量少，但是每一层与门计算需要一轮交互，因此通信轮数和电路深度成正比；
 - GC：该系列方案通信轮数是常数轮，但是要传输混乱表，因此通信量较大。
- 因而，GMW系列方案适合应用在低延迟网络中以获得较大的吞吐量，而GC系列方案则适合应用在延迟较大的网络中，减少因为网络延迟带来的时间开销。根据[GMW v.s. Yao](#)中的介绍，对于深度较浅、尺寸较大的电路来说，GMW系列的方案更能达到更好的整体性能。

Look-Up Table (LUT) 是介于GMW和GC之间的一种技术，既可以有效的降低GMW方案的通信轮数，同时通信量也比GC系列的方案更优。LUT在计算复杂函数时具有广泛的应用。本文接下来的内容集中在半诚实安全下的两方计算。

0. 基础知识

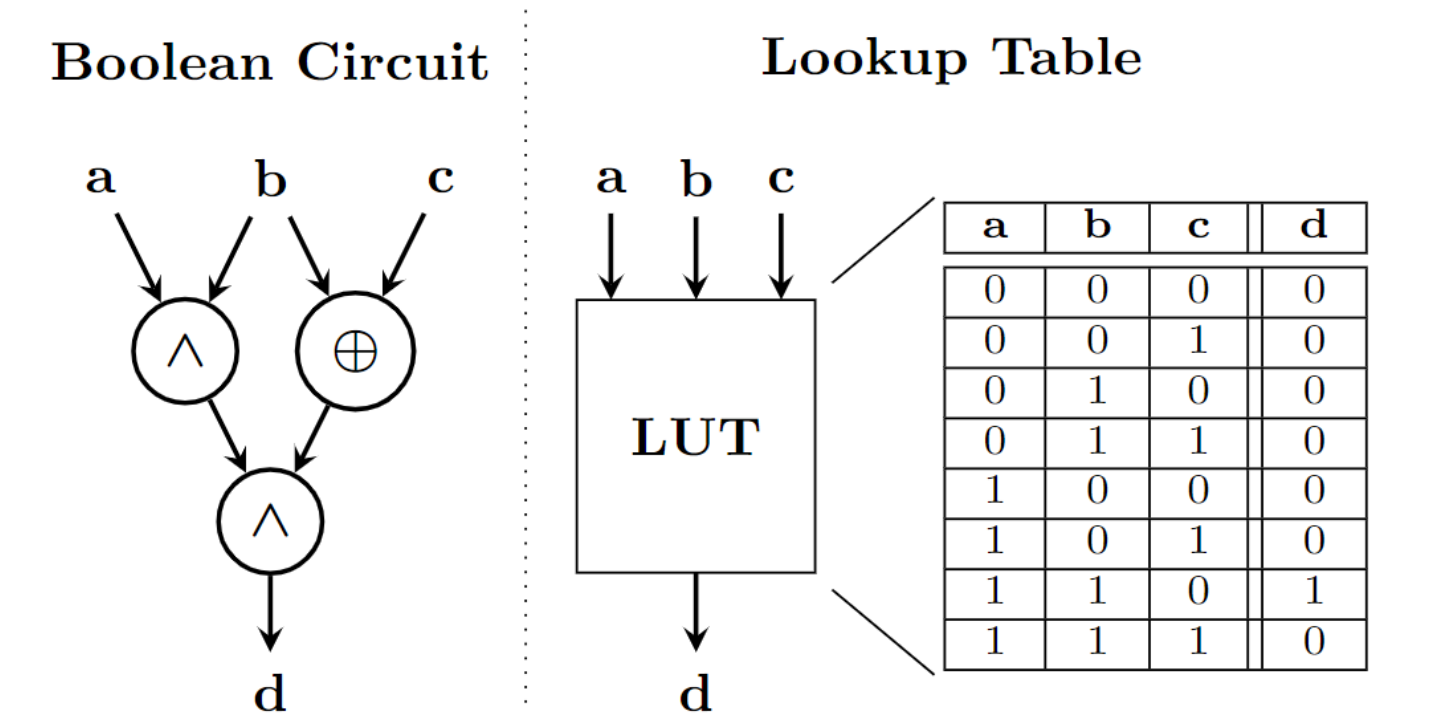
阅读本文需要简单掌握茫然传输（OT，尤其是N选1的OT协议）、秘密分享和ABY2.0的相关知识。感兴趣的读者可以简单读一下之前的博客了解上述相关技术。

1. 基础原理

一个LUT可以看作一个多输入-多输出的布尔电路门，其将 $\delta \geq 2$ 个输入比特映射到 σ 个输出比特，映射关系可以表示为任意布尔函数

$$f : \{0,1\}^\delta \rightarrow \{0,1\}^\sigma$$

如下图所示，左侧的布尔电路可以表示为右侧的LUT。如此，复杂的函数可以表示为多个LUT的组合。



以两方计算为例， S_0 和 S_1 在预计算阶段调用安全计算协议生成LUT，在线阶段根据实际输入提取对应的输出表项。

2. 经典实现

本节主要介绍四种经典构造方案。相关论文如下：

- [IKM+13](#)
- [DKS+18](#)
- [BHS+23](#)

2.1 OTTT方案

OTTT方案最早在论文[IKM+13]中提出，该方案的核心思想是在两方之间生成一个由随机分享偏置 θ 旋转的LUT: T 。即给定 T ，预计算阶段计算之后 S_0 持有 (T^0, r) 、 S_1 持有 (T^1, s) ，使得对于任意的 i 有 $T[i] = T^0[i \oplus \theta] \oplus T^1[i \oplus \theta]$ 且 $\theta = r \oplus s$ 。

在线阶段，给定秘密值 $x = x_0 \oplus x_1$ ，两方计算如下：

- $S_0 \xrightarrow{x_0 \oplus r} S_1, S_1 \xrightarrow{x_1 \oplus s} S_0$;
- S_0 和 S_1 各自在本地恢复 $x \oplus \theta$;
- 最后，两方各自提取 $T^i[x \oplus \theta]$ ，其中 $i \in \{0, 1\}$ 满足 $T[x] = T^0[x \oplus \theta] \oplus T^1[x \oplus \theta]$ 。

具体协议如下：

Functionality:

- P_1 has input $x \in X$, P_2 has input $y \in Y$.
- Both parties learn $z = f(x, y)$.

Preprocessing:

1. Sample random $r \in X, s \in Y$ and let A be the permuted truth table; i.e.,
$$A_{x+r, y+s} = f(x, y) ;$$
2. Sample a random matrix $M^1 \in Z^{X \times Y}$ and let $M^2 = A - M^1$;
3. Output (M^1, r) to P_1 and (M^2, s) to P_2 ;

Protocol:

1. P_1 sends $u = x + r$ to P_2 ;
2. P_2 sends $v = y + s$ and $z_2 = M_{u,v}^2$ to P_1 ;
3. P_1 sends to P_2 the value $z_1 = M_{u,v}^1$;
4. Both parties output $z = z_1 + z_2$;

Fig. 2. Semi-Honest Secure Protocol using One-Time Truth Table

方案OTTT预计算通信需要 $(|MT| + 4) \cdot (\delta - 1) \cdot 2^\delta \sigma$ 比特的通信，在线阶段传输 2δ 比特。其中， $|MT|$ 表示两方生成布尔乘法三元组的通信开销。

2.2 OP-LUT方案

论文[DKS+18]提出了OP-LUT和SP-LUT两种方案。在上述OTTT方案的基础上，OP-LUT的主要优化目的在于保持在线通信不增加的情况下，进一步减少预计算的通信开销。具体来说，OP-LUT的预计算协议构造如下：

- S_0 在本地选择自己的份额 T^0 ;
- 进一步，对于每一个 S_1 可能选择的 $s \in \{0, 1\}^\delta$ ， S_0 都利用 T^0 和 s 计算相应的 T^1 。如此， S_0 会计算得到 2^δ 个 T^1 ，每个 T^1 的大小是 $2^\delta \sigma$ 比特 (2^δ 行、 σ 列) ;
- 最后，两方进行一次 $\binom{2^\delta}{1} - \text{OT}_{2^\delta \sigma}^1$ 即可，其中 S_0 的输入为 2^δ 个 T^1 ， S_1 的输入为 s 。

在线计算阶段则和OTTT方案一致。除了上述优化之外，[DKS+18]还对OT进行了优化，细节请参阅原文。协议细节见下图：

PROTOCOL 3 (Online-LUT (OP-LUT) - our work)

Inputs and Oracles:

- **Common Input:** Symmetric security parameter κ ; number of inputs δ ; $N = 2^\delta$; Truth-table $T : \{0, 1\}^\delta \mapsto \{0, 1\}^\sigma$.
- **Input of P_0 :** $x^0 \in \{0, 1\}^\delta$.
- **Input of P_1 :** $x^1 \in \{0, 1\}^\delta$.
- **Oracles:** Both parties have access to a $\binom{N}{1} \text{OT}_{\sigma N}^1$ functionality.

Pre-Computation:

1. P_0 chooses $r \in_R \{0, 1\}^\delta$ and $T^0 \in_R (\{0, 1\}^\delta \mapsto \{0, 1\}^\sigma)$. P_1 chooses $s \in_R \{0, 1\}^\delta$.
2. P_0 computes (X_0, \dots, X_{N-1}) , with $X_{s'}[i] = T[r \oplus s' \oplus i] \oplus T^0[i]$, for all $0 \leq i, s' < N$.
3. P_0 and P_1 invoke the $\binom{N}{1} \text{OT}_{\sigma N}^1$ functionality where P_0 plays the sender with inputs (X_0, \dots, X_{N-1}) and P_1 plays the receiver with input s and output $T^1 = X_s$ s.t. $X_s[i] = T[r \oplus s \oplus i] \oplus T^0[i]$, for all $0 \leq i < N$.
4. **Output:** P_0 outputs (T^0, r) ; P_1 outputs (T^1, s) .

Online Evaluation (same as OTTT in Prot. 2):

1. P_0 sends $u = x^0 \oplus r$ to P_1 ; P_1 sends $v = x^1 \oplus s$ to P_0 .
2. P_0 sets $z^0 = T^0[u \oplus v]$; P_1 sets $z^1 = T^1[u \oplus v]$.
3. **Output:** P_0 outputs z^0 ; P_1 outputs z^1 , s.t. $z^0 \oplus z^1 = T[x^0 \oplus x^1]$.

方案OP-LUT预计算通信需要 $|\binom{2^\delta}{1} - \text{OT}_{2^\delta \sigma}^1| - \delta$ 比特的通信，在线阶段传输 2δ 比特。

2.3 SP-LUT方案

与方案OTTT和OP-LUT不同的是，SP-LUT方案致力于提升整体通信效率，但代价是增加了在线计算的通信开销。具体来说，SP-LUT在线计算阶段通过 N 选1的OT协议实现LUT的计算。具体来说， S_0 首先计算针对 S_1 所有可能输入对应的输出（ 2^δ 种结果），然后利用 $|\binom{2^\delta}{1} - \text{OT}_\sigma^1$ 实现计算。该方法可以调用随机OT（rOT）进行优化。具体协议见下图。

PROTOCOL 4 (Setup-LUT (SP-LUT) - our work)

Inputs and Oracles:

- **Common Input:** Symmetric security parameter κ ; number of inputs δ ; $N = 2^\delta$; Truth-table $T : \{0, 1\}^\delta \mapsto \{0, 1\}^\sigma$.
- **Input of P_0 :** $x^0 \in \{0, 1\}^\delta$.
- **Input of P_1 :** $x^1 \in \{0, 1\}^\delta$.
- **Oracles:** Both parties have access to a $\binom{N}{1}$ R-OT $^1_\sigma$ functionality.

Pre-Computation:

1. P_0 and P_1 invoke the $\binom{N}{1}$ R-OT $^1_\sigma$ functionality where P_0 plays the sender and P_1 plays the receiver. From the OT, P_0 receives random bits (m_0, \dots, m_{N-1}) and P_1 receives a random choice $s \in \{0, 1\}^\delta$ and message m_s .
2. **Output:** P_0 outputs (m_0, \dots, m_{N-1}) ; P_1 outputs (m_s, s) .

Online Evaluation:

1. P_1 sends $u = s \oplus x^1$ to P_0 .
2. P_0 chooses $z^0 \in_R \{0, 1\}^\sigma$ and computes and sends $V = (v_0, \dots, v_{N-1})$, where $v_i = T[i \oplus x^0] \oplus m_{i \oplus u} \oplus z^0$.
3. P_1 computes $z^1 = v_{x^1} \oplus m_s$.
4. **Output:** P_0 outputs z^0 ; P_1 outputs z^1 , s.t. $z^0 \oplus z^1 = T[x^0 \oplus x^1]$.

方案SP-LUT预计算通信需要 $\binom{2^\delta}{1} \text{rOT}_\sigma^1$ 比特的通信, 在线阶段传输 $\delta + 2^\delta \sigma$ 比特。

2.4 FLUTE方案

和之前的方案不同, 论文[BHS+23]提出的FLUTE将LUT的计算表示为向量内积计算, 并利用ABY2.0的两方掩码秘密分享实现了高效的在线效率。方案构造逻辑如下:

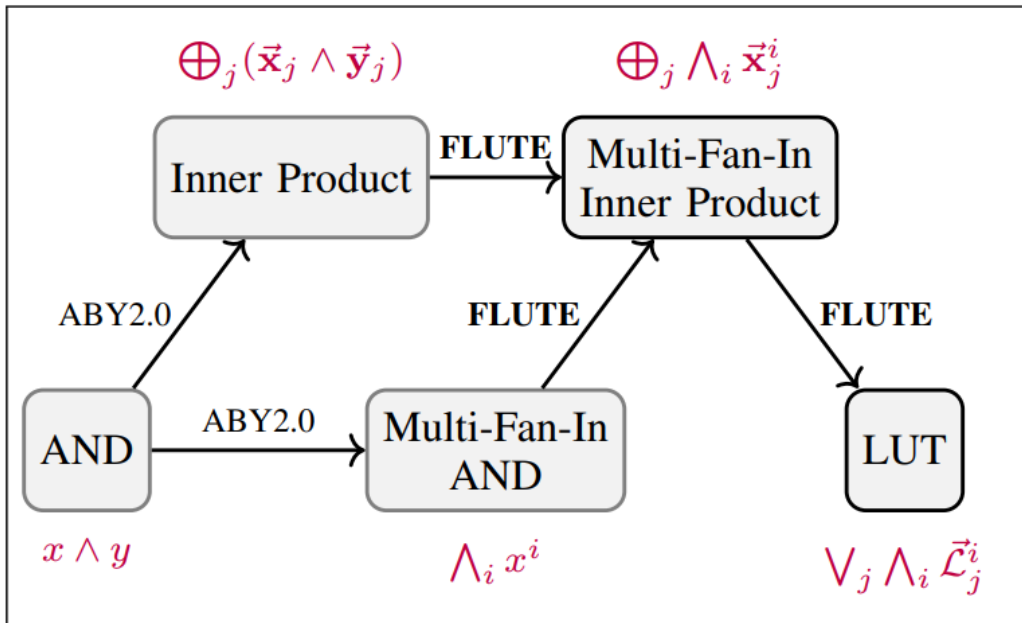


Figure 4: Roadmap of FLUTE protocol design starting with the known primitives in ABY2.0 [68]. Each node's functionality is provided alongside it.

其方案主要设计思想如下图所示，简单分析如下：

- 图(a)种LUT的计算可以表示图(b)的布尔表达式，即输出项为1的向量的OR；
- 进一步，由于(b)中不同的子布尔表达式不可能同时为1，所以OR操作可以简化为XOR，从而将表达式简化为(c)中布尔表达式；
- 最后，(c)中的布尔表达式可以形式化为(d)中的布尔向量内积形式。

| x_1 | x_2 | x_3 | y |
|-------|-------|-------|-----|
| 0 | 0 | 0 | 1 |
| 0 | 0 | 1 | 0 |
| 0 | 1 | 0 | 0 |
| 0 | 1 | 1 | 1 |
| 1 | 0 | 0 | 0 |
| 1 | 0 | 1 | 1 |
| 1 | 1 | 0 | 0 |
| 1 | 1 | 1 | 0 |

(a) LUT \mathbb{T} with $\delta = 3$

$$\begin{aligned}
 &\text{LUT output } z \\
 &= \\
 &(\overline{x_1} \wedge \overline{x_2} \wedge \overline{x_3}) \\
 &\vee (\overline{x_1} \wedge x_2 \wedge x_3) \\
 &\vee (x_1 \wedge \overline{x_2} \wedge x_3)
 \end{aligned}$$

(b) LUT Output Description

$$\begin{aligned}
 &(\overline{x_1} \wedge \overline{x_2} \wedge \overline{x_3}) \\
 &\oplus (\overline{x_1} \wedge x_2 \wedge x_3) \\
 &\oplus (x_1 \wedge \overline{x_2} \wedge x_3)
 \end{aligned}$$

(c) OR to XOR Conversion

$$\begin{aligned}
 y &= \vec{\mathcal{L}}^1 \odot \vec{\mathcal{L}}^2 \odot \vec{\mathcal{L}}^3 \\
 &= \\
 &\begin{pmatrix} \overline{x_1} \\ x_1 \end{pmatrix} \cdot \begin{pmatrix} \overline{x_2} \\ x_2 \end{pmatrix} \cdot \begin{pmatrix} \overline{x_3} \\ x_3 \end{pmatrix}
 \end{aligned}$$

(d) Output Computation

除了上述主要思路，具体构造方面FLUTE进行了如下设计：

- 对于向量 $\vec{\mathcal{L}}^i$ ，其第 j 个元素编码为 $\vec{\mathcal{L}}_j^i = x_i \oplus (1 \oplus \vec{\mathcal{E}}_j^i)$ ，其中 $i \in [\delta], j \in [2^\delta]$ 。而 \mathcal{E}^i 即为 x_i 在表 \mathbb{T} 中的编码。如上图， $\vec{\mathcal{E}}^1 = [0, 0, 0, 0, 1, 1, 1, 1]^T$ 。
- 为了优化多输入向量内积的在线计算通信效率，FLUTE底层采用了ABY2.0的两方掩码秘密分享方案，从而减少了在线计算的开销。
- 对于预计算，ABY2.0需要计算掩码随机数的安全乘积。由于LUT只是针对布尔值进行，因此 x_i 和 $\overline{x_i}$ 的掩码分享中的随机数部分是相同的，区别只有翻转的公开值部分。因此预计算中不同 $\vec{\mathcal{L}}^i$ 的随机掩码的乘积计算只需要计算其中一个即可，即 $\lambda_{\vec{\mathcal{L}}_j^i} = \lambda_{x_i}$ ，从而使得预计算通信开销比简单直接调用ABY2.0预计算方案减少了 2^δ 倍。
- 同时，FLUTE使用Silent OT实现预计算的关联随机数生成、两方乘法等操作，比使用IKNP OT进一步提升了实用性。

FLUTE执行LUT的详细协议如下：

Protocol $\Pi_{\text{LUT}}((\langle x_1 \rangle, \dots, \langle x_\delta \rangle), \mathsf{T})$

Input: LUT T for a function $f : \{0, 1\}^\delta \rightarrow \{0, 1\}^\sigma$, with inputs $\langle x_k \rangle$ and input encoding $\vec{\mathcal{E}}^k \in \{0, 1\}^{2^\delta}$, for $k \in [\delta]$, and output encoding $\vec{\mathbf{y}}^w \in \{0, 1\}^{2^\delta}$, for $w \in [\sigma]$.

Output: $\langle \vec{\mathbf{z}} \rangle$, where $\vec{\mathbf{z}} = (\vec{\mathbf{z}}_1, \dots, \vec{\mathbf{z}}_\sigma) = \mathsf{T}[x_1, \dots, x_\delta]$.

Setup Phase:

1. Server S_i , for $i \in \{0, 1\}$ samples random $\lambda_{\vec{\mathbf{z}}}^i \in \{0, 1\}^\sigma$.
2. Let $\mathcal{I} = \{x_1, \dots, x_\delta\}$. Then:
 - Execute $\mathcal{F}_{\text{ANDM}}^{\text{pre}}$ to generate $[\lambda_{\mathcal{Q}}]$ for all $\mathcal{Q} \in 2^{\mathcal{I}}$.

Online Phase:

1. *Input Preparation:*
 - Locally set $\vec{\mathcal{L}}_j^i = x_i \oplus (1 \oplus \vec{\mathcal{E}}_j^i)$, $\forall i \in [\delta], \forall j \in [2^\delta]$.
 - Locally set $\mathcal{I}_j = \{\vec{\mathcal{L}}_j^1, \dots, \vec{\mathcal{L}}_j^\delta\}$, $\forall j \in [2^\delta]$.
2. Server S_i , for $i \in \{0, 1\}$ and $w \in [\sigma]$, locally computes

$$[\vec{\mathbf{v}}_w]_i = \bigoplus_{\mathcal{Q} \in 2^{\mathcal{I}}, \mathcal{Q} \neq \mathcal{I}} \left((\vec{\mathbf{m}}_{\mathcal{Q}} \odot \vec{\mathbf{y}}^w) \wedge \lambda_{\mathcal{I} \setminus \mathcal{Q}} \right) \oplus \lambda_{\vec{\mathbf{z}}_w}^i.$$

3. Servers mutually exchange $[\vec{\mathbf{v}}]$ to obtain $\vec{\mathbf{v}} = [\vec{\mathbf{v}}]_0 \oplus [\vec{\mathbf{v}}]_1$.
4. Locally compute $\mathbf{m}_{\vec{\mathbf{z}}_w} = \vec{\mathbf{v}}_w \oplus (\vec{\mathbf{m}}_{\mathcal{I}} \odot \vec{\mathbf{y}}^w)$.

Figure 6: FLUTE Lookup Table Evaluation

方案FLUTE预计算通信需要 $(|MT| + 4) \cdot (2^\delta - \delta - 1)$ 比特的通信，在线阶段传输 2δ 比特。其中， $|MT|$ 表示两方生成布尔乘法三元组的通信开销。

2.5 方案对比

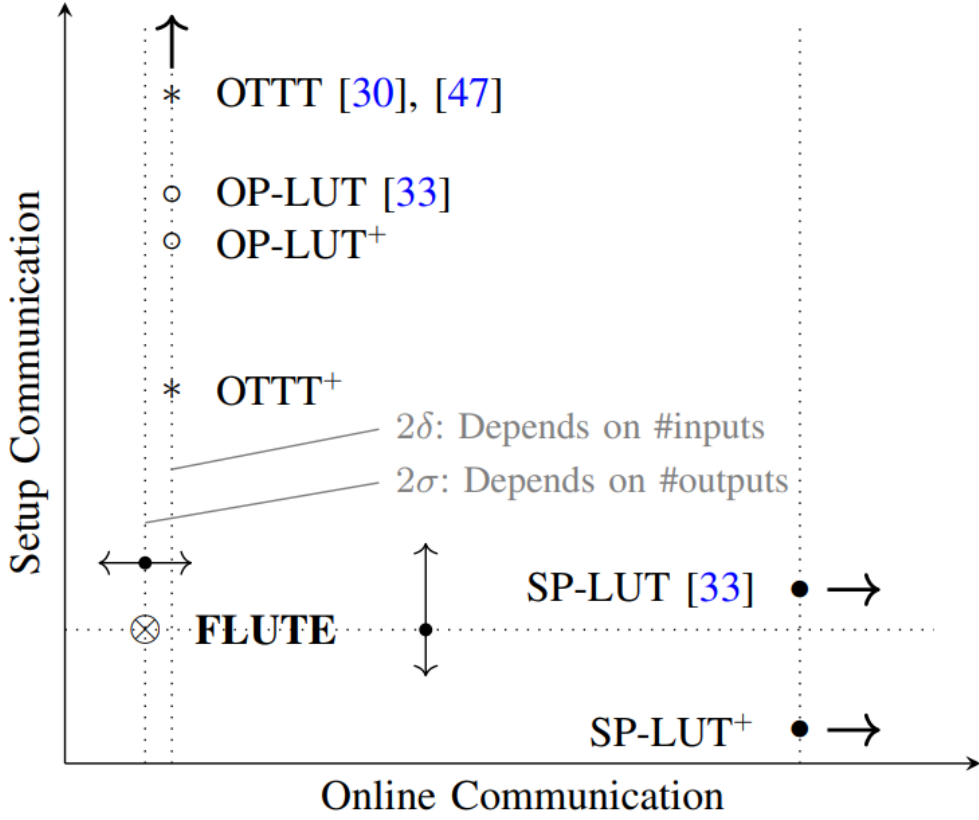


Figure 1: Comparison of setup and online communication between prior LUT protocols and FLUTE. ⁺ denotes the modification of prior LUTs that use silent OT [17]. The specific communication of FLUTE relative to other approaches depends on the LUT parameters: number of inputs δ and number of outputs σ . Exact costs depending on the given parameters are consolidated in Table 2.

如上图所示，FLUTE一文中对比了上述不同方案的预计算和在线计算通信开销，可以看到OTTT和OP-LUT在线同核心优于SP-LUT，但SP-LUT整体性能更优。而FLUTE则在预计算和在线计算两部分都达到了目前最好的通信效率。更多的实验对比可以参考FLUTE原文。

3. 应用示例

LUT可以用在多种应用中，且适合计算非线性函数。在隐私保护机器学习中，以SIRNN提出的指数计算协议为例，本文简单介绍一下LUT的应用：给定输入 x ，将 x 按照 2^d 进制进行分解，则有 $e^x = e^{\sum_{i=0}^{k-1} 2^{di} x_i}$ 。如此，对于 x 分解后的每一个 d 比特的分段，可以构造一个LUT表：

$$L_i : \{0, 1\}^d \rightarrow \mathbb{Z}_{2^{s'+2}}, \text{ s.t. } L_i[j] = \text{Fix}(\text{rExp}(2^{di-s} j), s' + 2, s')$$

如此，两方可以计算每一个 $L_i[x_i]$ 得到每个分段的指数计算结果，最后做乘法计算 $\text{rExp}(x) = L_{k-1}[x_{k-1}] \cdot \dots \cdot L_0[x_0]$ 。最后截断、设置比特位长。具体算法如下：

Functionality $\mathcal{F}_{\text{rExp}}^{m,s,n,s'}(\langle x \rangle^m)$

- 1) Let $x = x_{k-1} || \dots || x_0$, $x_i \in \{0, 1\}^d$, $i \in [k]$, $dk = m$.
- 2) For $i \in [k]$, let $L_i : \{0, 1\}^d \rightarrow \mathbb{Z}_{2^{s'+2}}$ s.t. $L_i(j) = \text{Fix}(\text{rExp}(2^{di-s}j), s' + 2, s')$.
- 3) Compute $g = L_{k-1}[x_{k-1}] * \dots * L_0[x_0]$, g has bitwidth $s' + 2$ and scale s' .
- 4) Return $\langle y \rangle^n$ for $y = \text{SExt}(g, s' + 2, n)$.

关于上述协议其他的细节介绍，请参考我们之前的关于SIRNN的博客。